УДК 54.057;544.022.6

# СИНТЕЗ НАНОСТРУКТУРИРОВАННЫХ АЛЮМОСИЛИКАТОВ С РАЗЛИЧНЫМ СООТНОШЕНИЕМ SiO<sub>2</sub>/Al<sub>2</sub>O<sub>3</sub>: АНАЛИЗ СОСТАВА, МОРФОЛОГИИ, ИК И ЯМР СПЕКТРОВ

© 2025 г. П. С. Гордиенко<sup>1</sup>, Е. И. Войт<sup>1</sup>, С. Б. Ярусова<sup>1,2,\*</sup>, Е. А. Нехлюдова<sup>1,2</sup>, А. Б. Слободюк<sup>1</sup>, В. Г. Курявый<sup>1</sup>, В. А. Мащенко<sup>1</sup>, Н. В. Полякова<sup>1</sup>

<sup>1</sup> Институт химии Дальневосточного отделения Российской академии наук, Владивосток, 690022 Россия <sup>2</sup> Владивостокский государственный университет, Владивосток, 690014 Россия \*e-mail: yarusova 10@mail.ru

> Поступило в редакцию 25 апреля 2025 г. После доработки 24 июня 2025 г. Принято к печати 14 июля 2025 г.

В работе представлены данные по синтезу наноструктурированных алюмосиликатов (цеолитов) натриевой и калиевой форм с мольным соотношением  $SiO_2$ : $Al_2O_3 = 2-10$  из водных растворов при температуре не выше 95°С. Приведены результаты исследований элементного состава, морфологии наночастиц, удельной поверхности полученных рентгеноаморфных алюмосиликатов, получены и проанализированы инфракрасные спектры и спектры ядерного магнитного резонанса.

Ключевые слова: наноструктурированный алюмосиликат, цеолит, морфология, ИК спектроскопия, спектроскопия ЯМР

DOI: 10.31857/S0044460X25070098, EDN: SPYSHP

# **ВВЕДЕНИЕ**

Природные цеолиты являются широко распространенными минералами, для которых характерен изоморфизм, связанный с замещением атомов кремния в тетраэдрической координации с кислородом  $SiO_4^{4-}$  в большинстве случаев на алюминий  $Al^{3+}$ . В организации структуры цеолитов с различным отношением SiO<sub>2</sub>/Al<sub>2</sub>O<sub>3</sub> основная роль принадлежит тетраэдрическим анионам, связанным через кислородные мостики в цепи, ленты, кольца, плоскости. Зачастую связанные через кислородные мостики основные тетраэдрические элементы структуры цеолитов способны образовывать 4-, 6-, 8-, 10- или 12-членные кольца. При этом в структуре формируются наноразмерные полости с входными кислородными «окнами» различных размеров, через которые в полости могут входить как катионы, так и нейтральные молекулы соответствующих размеров. Следует отметить, что катионы щелочных или щелочноземельных металлов в структуре цеолитов, компенсирующие дополнительный отрицательный заряд аниона, образованный вследствие замещения иона кремния в тетраэдре алюминием, играют значительную роль в формировании структуры цеолитов. В зависимости от природы катиона ( $Na^+, K^+, Ca^{2+},$ Ва<sup>2+</sup> и др.), их ионных радиусов, координационного числа по кислороду изменяется локальное расположение тетраэдров, каталитические, сорбционные и физические свойства. В состав синтетических цеолитов могут входить как молекулы воды, так и другие молекулы (это определяется условиями синтеза), которые могут быть удалены при определенных температурах обжига без нарушения исходной структуры [1–4].

Многие свойства цеолитов как солей слабых полиалюмокремниевых кислот связаны с возможностью катионного обмена при их обработке в водных растворах солей более сильных кислот. Этот механизм определяет сорбционные свойства цеолитов по отношению ко многим катионам, присутствующим в растворах. Наличие в структуре цеолитов наноразмерных «окон» используется для разделения (абсорбции) газов, молекул некоторых растворимых органических веществ и в катализе. Цеолиты нашли широкое применение в качестве адсорбентов тяжелых металлов, долгоживущих радионуклидов, при очистке газов от паров воды, аммиака, сернистого газа, сероводорода, углекислого газа, меркаптанов, при осушке полярных и неполярных растворителей, при очистке природного газа, ионообменных материалов и моющих добавок, особенно в нефтепереработке и нефтехимии [5–13].

Синтетические цеолиты используются чаще, чем природные цеолиты, благодаря их более высокой чистоте и неизменно однородному размеру частиц, чем обусловлен ежегодный темп роста рынка синтетических цеолитов на 4.2% [14].

Для исследователей остается актуальным вопрос определения взаимосвязи условий синтеза, состава, структуры, морфологии и свойств алюмосиликатов. На формирование цеолита определенного типа, его размер, морфологию частиц, плотность оказывают влияние многие параметры: соотношение Si/Al, соотношение твердой и жидкой фаз, щелочность, время, температура кристаллизации и др. Выбор щелочного металла также может повлиять на процесс кристаллизации и размер пор синтезированных цеолитов [15–17]. При этом, как правило, рассматриваются ряды природных минералов или синтетических материалов с заданным соотношением  $SiO_2/Al_2O_3$ . Соотношение SiO<sub>2</sub>/Al<sub>2</sub>O<sub>3</sub> является ключевым параметром, определяющим кислотно-основные, структурные, текстурные и, например, каталитические свойства аморфных кристаллических (микро- и мезопористых) алюмосиликатов [18–20].

Известны высокотемпературные [21] и автоклавные методы синтеза синтетических цеолитов [22, 23]. Так, в работе [24] синтезированы алюмосиликаты калия при различных мольных соотношениях K/(Al+Si) и Al/Si с последующим исследованием их каталитической активности при газификации нефтяного кокса. Исходные компоненты (КОН, Al<sub>2</sub>O<sub>3</sub> и SiO<sub>2</sub>) подвергали двухступенчатому нагреву до 900°С, затем до 1100°С. После полного расплавления образцы закаливали, охлаждали, сушили, измельчали и промывали. В исследовании [25] для получения катализаторов на основе цеолитов Cu-SSZ-13 с соотношением Si/Al 5, 10 и 20, использован простой и недорогой метод интерцеолитной конверсии. Исходный цеолит SSZ-13 с различным соотношением Si/ Al получали конверсией цеолита  $Y(SiO_2:Al_2O_3 = 5)$ в условиях его гидротермальной обработки при 150°С в течение 2 сут. Предварительно к цеолиту Ү добавляли раствор гидроксида калия определенной концентрации, золь кремнезема JN-40 и небольшое количество N,N,N-триметил-1-адамантиламмония гидроксида.

Актуальным направлением остается поиск низкотемпературных (до 100°С) методов получения материалов с заданными функциональными свойствами, в том числе и с высокими сорбционными свойствами. Методы низкотемпературного химического синтеза привлекают значительное внимание как методы повышения энергоэффективности по сравнению с высокотемпературными твердофазными и гидротермальными методами [26].

Ранее авторами [27–29] представлены сорбционные характеристики наноструктурированных алюмосиликатов калия и натрия с различным соотношением  $SiO_2/Al_2O_3$  состава  $M_2Al_2Si_xO_{2(x+4)}\cdot nH_2O$  (где M =  $K^{+}$ ,  $Na^{+}$ ; x = 2-10), а также их модифицированных форм. Показано, что получаемые из водных многокомпонентных систем соединения указанного состава характеризуются высокими значениями сорбционной емкости по отношению к ионам Cs<sup>+</sup>. Необходимо было обобщить и систематизировать исследования по закономерностям формирования полученных рентгеноаморфных алюмосиликатов в зависимости от соотношения SiO<sub>2</sub>/Al<sub>2</sub>O<sub>3</sub>, включая исследование фазового, элементного состава, морфологии наночастиц, определение удельной поверхности и анализ ИК и ЯМР спектров. Целью настоящей работы является исследование закономерностей формирования аморфных наноструктурированных алюмосиликатов с заданным соотношением компонентов SiO<sub>2</sub>/Al<sub>2</sub>O<sub>3</sub>

состава  $M_2Al_2Si_xO_{2(x+4)}\cdot nH_2O$  (где  $M=K^+$ ,  $Na^+$ ; x=2-10) с применением физико-химических методов (ИК, ЯМР <sup>27</sup>Al, <sup>23</sup>Na, <sup>29</sup>S спектроскопия, рентгенофазовый анализ, сканирующая электронная микроскопия).

#### ОБСУЖЛЕНИЕ РЕЗУЛЬТАТОВ

Образцы алюмосиликатного состава  $M_2Al_2Si_{2k}O_{2(2k+2)}$ · $nH_2O$  (где M = K, Na; k = 1, 2,3, 4, 5) с заданным соотношением компонентов  $SiO_2:Al_2O_3 = 2-10$  синтезировали путем растворения кремнезема в гидроксиде натрия (или калия) с получением жидкого стекла с заданным силикатным модулем  $M_{*} = \text{SiO}_{2}/\text{M}_{2}\text{O}$  (где М – щелочной металл) с последующим смешением раствора жидкого стекла с раствором хлорида алюминия. Под силикатным модулем подразумевается мольное соотношение окислов  $SiO_2/Na_2O(K_2O)$ . Соотношения компонентов рассчитывали таким образом, чтобы получать алюмосиликаты с заданным значением  $k = SiO_2/Al_2O_3$ и конечным значением рН раствора, равным 7 [30]. Выбранные условия выполняются, если приготовленный раствор жидкого стекла имеет модуль  $M_{\star} = 1/2k$ , а компоненты взяты согласно стехиометрическим коэффициентам уравнения (1):

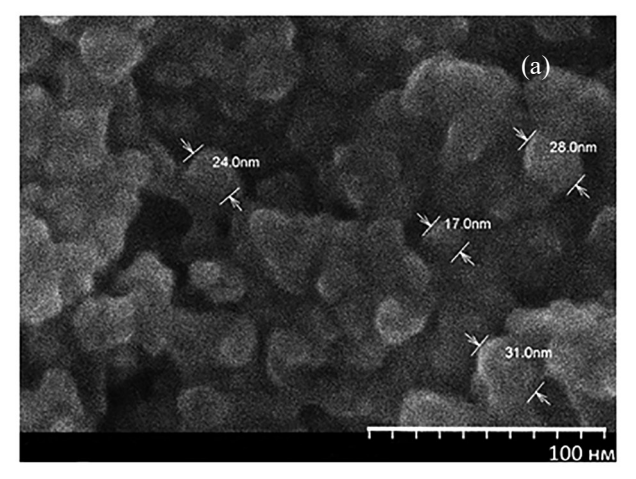
$$4M_2O + 2kSiO_2 + 2AlCl_3 = M_2Al_2Si_{2k}O_{2(2k+2)} + 6MCl.$$
 (1)

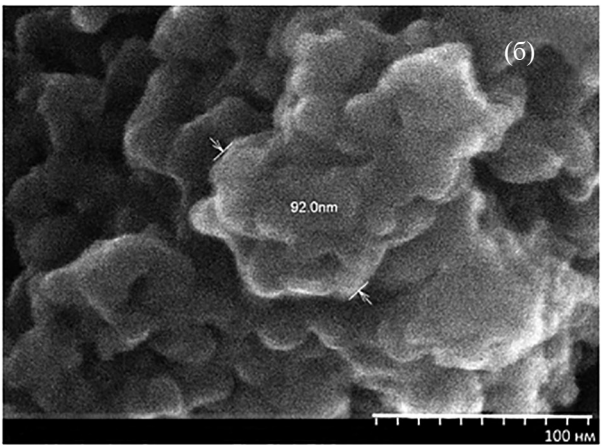
Следует отметить, что при  $M_{\rm w} > 1/2k$  получение из растворов жидкого стекла алюмосиликата с заданным отношением k без изменения модуля жидкого стекла не представляется возможным, а синтез алюмосиликатов с меньшим модулем  $M_{\rm w} < 1/2k$  всегда приводит к избытку гидроксида щелочного металла в растворе.

Элементный состав, удельная поверхность синтезированных образцов и содержание в них кристаллизационной воды приведены в табл. 1. Полученные образцы представляют собой мелкодисперсные порошки с развитой поверхностью, состоящие из плотноупакованных наночастиц размером 15–35 нм, сросшихся в агломераты размером не более 100 нм (рис. 1). Принципиальных различий в морфологии образцов цеолитов калиевой и натриевой форм не

Таблица 1. Состав, удельная поверхность алюмосиликатов.

Формула	Н <sub>2</sub> О <sub>крист</sub> , моль	Элементный состав, мас%				V C -2/-	
		К	Na	Si	Al	Удельная поверхность $S_{ m yg}$ , м $^2$ /г	
KAlSiO <sub>4</sub>	0.94	27.2	_	37.7	35.1	165.2	
$KAlSi_{1.5}O_5$	1.2	23.1	_	47.2	29.6	185.8	
KAlSi <sub>2</sub> O <sub>6</sub>	1.1	27.7	_	48,4	25.4	233.3	
$KAlSi_{2.5}O_7$	1.4	20.7	_	57.1	22.1	321.3	
KAlSi <sub>3</sub> O <sub>8</sub>	1.6	20.9	_	60.0	19.1	266.1	
KAlSi <sub>3.5</sub> O <sub>9</sub>	1.35	17.9	_	64.1	18.1	145.5	
$KAlSi_4O_{10}$	1.9	20.6	_	63.7	15.7	292.8	
$KAlSi_{4.5}O_{11}$	2.3	14.1	_	70.8	14.9	128.5	
$KAlSi_5O_{12}$	2.5	15.5	_	69.2	10.2	279.5	
NaAlSiO <sub>4</sub>	1.5	_	18.7	42.1	39.0	101.4	
NaAlSi <sub>1.5</sub> O <sub>5</sub>	2.0	_	15.7	49.7	31.5	119.7	
NaAlSi <sub>2</sub> O <sub>6</sub>	1.9	_	13.3	56.8	29.8	167.6	
NaAlSi <sub>2.5</sub> O <sub>7</sub>	3.3	_	13.9	59.7	26.3	194.2	
NaAlSi <sub>3</sub> O <sub>8</sub>	2.3	_	13.7	63.5	22.6	180.7	
NaAlSi <sub>3.5</sub> O <sub>9</sub>	2.8	_	12.7	66.7	20.5	255.7	
$NaAlSi_4O_{10}$	2.9	_	9.5	70.9	19.5	248.2	
$NaAlSi_{4.5}O_{11}$	3.8	_	9.7	73.2	17.1	265.7	
NaAlSi <sub>5</sub> O <sub>12</sub>	3.5	_	6.9	77.0	16.1	302.2	

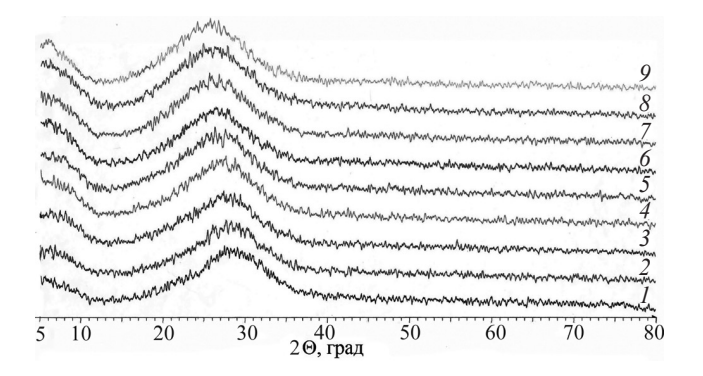




**Рис. 1.** СЭМ-Изображения микрочастиц алюмосиликатов с соотношением  $SiO_2/Al_2O_3$ , равным 5: (а) — алюмосиликат калия; (б) — алюмосиликат натрия.

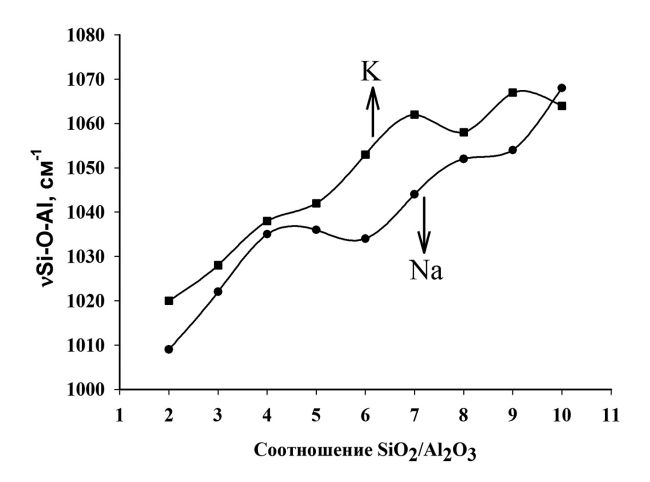
установлено. В натриевом ряду исследуемых алюмосиликатов наблюдается увеличение удельной поверхности с увеличением отношения  ${\rm SiO_2/Al_2O_3}$  (приблизительно в 3 раза). Для калиевого ряда наблюдается тенденция к увеличению удельной поверхности до  $300~{\rm M^2/r}$ .

На рентгенограммах образцов алюмосиликатов с соотношением  $SiO_2/Al_2O_3$ , равным 2—10, наблюдаются широкие максимумы в диапазоне малых углов  $2\Theta$  (рис. 2). Отсутствие четких брэгговских пиков подтверждает рентгеноаморфность образцов, что определяется их низкой степенью кристаллизации и наноразмерностью кристаллитов. Установлено, что с ростом соотношения  $SiO_2/Al_2O_3$ , равного 2, 4, 6, 8, 10, последовательно увеличиваются расстояния между образовавшимися наночастицами, что



**Рис. 2.** Дифрактограммы алюмосиликатов натрия с различным соотношением  $SiO_2/Al_2O_3$ : I-2, 2-3, 3-4, 4-5, 5-6, 6-7, 7-8, 8-9, 9-10.

видно из приведенных на рис. 2 рентгенограммах по смещению рентгеноаморфного гало в сторону малых углов. Аналогичная закономерность была установлена и описана авторами [31], при анализе рентгенограмм гелей алюмосиликатов натрия с соотношением  $SiO_2/Al_2O_3$  от 2 до 6, полученных из водных растворов силиката натрия и нитрата алюминия при 2–20°С, где наблюдался сдвиг рентгеноаморфного гало в сторону меньших значений  $2\Theta$  с увеличением соотношения  $SiO_2/Al_2O_3$ . С увеличением содержания силикатных тетраэдров увеличивается смещение асимметричных валентных колебаний  $v_{as}(Si-O-Si)$  в высокочастотную область (рис. 3).



**Рис. 3.** Изменение частоты асимметричных валентных колебаний Si–O–Al в алюмосиликатах от соотношения  $SiO_2/Al_2O_3$ .

Для некоторых образцов калиевого ряда алюмосиликатов данные по сорбционным свойствам приведены в работах [28, 32]. В работе [27] интерпретированы спектры ЯМР. Наблюдаемые отличия в величинах усредненных расстояний между образовавшимися наночастицами алюмосиликатов натриевого и калиевого рядов следует связать с различием размеров ионных радиусов натрия и калия 1.16 и 1.52 Å, соответственно, с изменением соотношения  $SiO_2/Al_2O_3$  и размером образовавшихся наночастиц. Катионы  $Na^+$  или  $K^+$  включают в свою координацию кислород, принадлежащий алюмосиликатным тетраэдрам.

Спектры ЯМР  $^{27}$ А1 (рис. 4а) образцов Na<sub>2</sub>Al<sub>2</sub>Si<sub>x</sub>O<sub>2(x+4)</sub>·nH<sub>2</sub>O содержат два сигнала: при 50 м. д. (сильный) и около 0 (слабый), которые могут быть отнесены к тетра- и октакоординированным атомам алюминия соответственно [33]. Сигналы тетракоординированных атомов имеют большую интенсивность и хорошо заметны вследствие их меньшей ширины. Интенсивность сигналов увеличивается с ростом содержания кремния в образце, и для состава Na<sub>2</sub>Al<sub>2</sub>Si<sub>9</sub>O<sub>22</sub> определить наличие сигнала около 0 м. д. становится затруднительным.

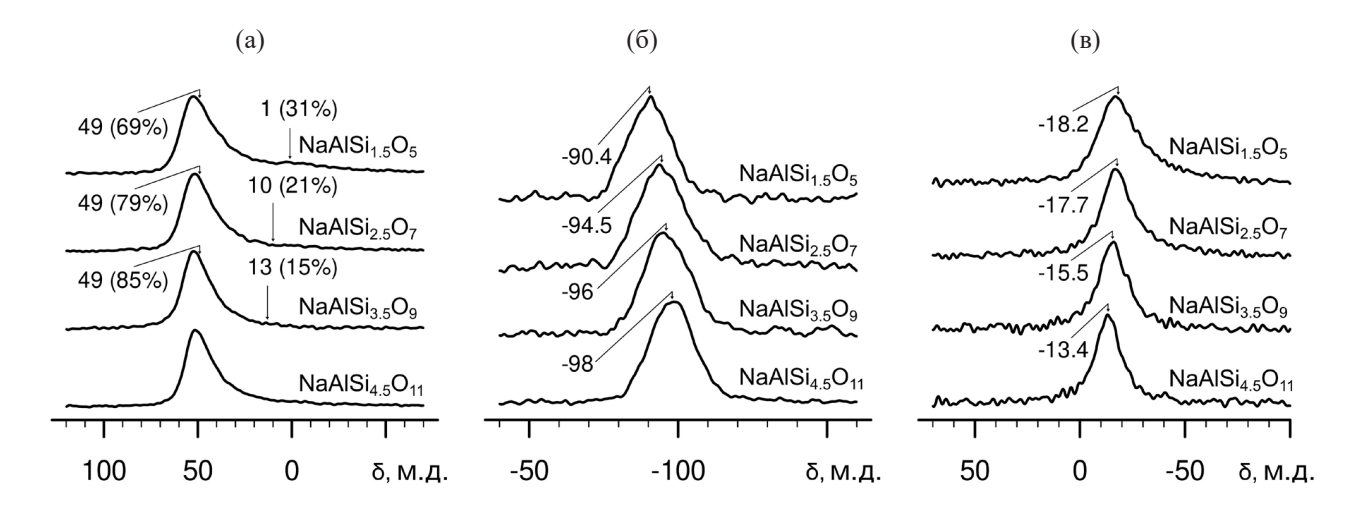
Спектры ЯМР ВМУ (вращение под «магическим» углом) <sup>29</sup>Si исследованных соединений (рис. 4б) содержат по одному широкому сигналу, положение которого систематически зависит от состава образца и определяется соотношением структурных

фрагментов Si–O–Si и Si–O–Al. Если для состава  $Na_2Al_2Si_9O_{22}$  сигнал имеет сдвиг -98 м. д., то для  $Na_2Al_2Si_3O_{10}$  химический сдвиг составляет -90.4 м. д., что отражает общее упрочнение связи в тетраэдре с увеличением содержания кремния.

Аналогичным образом (систематически) зависит от состава положение сигнала в спектре ЯМР ВМУ  $^{23}$ Nа (рис. 4в). Кроме положения, последовательно изменяется и ширина сигнала, что может быть связано с уменьшением вклада диполь-дипольных взаимодействий  $^{27}$ Al $^{-23}$ Na с увеличением содержания кремния в образцах.

Дополнительная информация о структуре синтезированных образцов получена с использованием ИК спектроскопии, чувствительной к ближнему и среднему порядку. Данный метод позволяет идентифицировать как кристаллические, так и аморфные материалы [34]. Положения полос в ИК спектрах синтезированных образцов состава  $M_2Al_2Si_xO_{2(x+4)}\cdot nH_2O$  (где  $M=K^+$ ,  $Na^+$ ) приведены в табл. 2. Присутствие полос поглощения в областях 3465-3441 (ш. с), 1650-1634 (ср), 1170-1100 (пл), 1068-1009 (ш. с), 938-866 (ср. пл), 794-694 (ш. сл), 609-560 (ш. сл), 462-431 (ср) см $^{-1}$  свидетельствует о наличии в структуре исследуемых образцов силикатных и алюмосиликатных группировок, а также молекул воды [34, 35].

Анализ ИК спектров позволяет выявить роль молекул  $H_2O$  в структуре полученных образцов и



**Рис. 4.** Спектры ЯМР ВМУ: <sup>27</sup>Al (a), <sup>29</sup>Si (б), <sup>23</sup>Na (в) алюмосиликатов натрия.

**Таблица 2.** Положение полос поглощения (см $^{-1}$ ) в ИК спектрах образцов  $M_2Al_2Si_xO_{2(x+4)}\cdot nH_2O$  (M =Na $^+$ , K $^+$ ) и их отнесение.

Образец	ν(O–H)	δ(Н–О–Н)	v <sub>as</sub> (Si–O–Si)	v <sub>as</sub> (Si–O–Al)	$v_{as}[Si(Al)-O^{-}]$ $v_{as}[Si(Al)-O-H]$	v <sub>as</sub> [Si–Si(Al)]	δ[Si–Si(Al)]	δ(Si–O–Si)
	ш. с	ср	пл	ш. ср	ср. пл	ш. ср	ш. сл	ср
NaAlSiO <sub>4</sub> ·1.58H <sub>2</sub> O	3444	1644	_	1009	866	702	586	448
$NaAlSi_{1.5}O_5 \cdot 2H_2O$	3458	1643	1114	1022	900	713	587	450
NaAlSi <sub>2</sub> O <sub>6</sub> ·1.9H <sub>2</sub> O	3446	1644	1151	1036	911	715	595	455
NaAlSi <sub>2.5</sub> O <sub>7</sub> ·3.3H <sub>2</sub> O	3463	1642	1133	1036	911	709, 769	567	447
$NaAlSi_3O_8 \cdot 2.3H_2O$	3458	1648	1151	1033	907	713, 770	564	447
NaAlSi <sub>3.5</sub> O <sub>9</sub> ·2.8H <sub>2</sub> O	3462	1641	1156	1044	919	715, 770	563	447
NaAlSi <sub>4</sub> O <sub>10</sub> ·2.95H <sub>2</sub> O	3453	1642	1153	1052	927	713, 774	560	445
NaAlSi <sub>4.5</sub> O <sub>11</sub> ·3.8H <sub>2</sub> O	3453	1641	1156	1054	930	720, 785	559	452
NaAlSi <sub>5</sub> O <sub>12</sub> ·3.5H <sub>2</sub> O	3454	1644	1165	1068	928	718, 794	560	458
KAlSiO <sub>4</sub> ·0.94H <sub>2</sub> O	3465	1650	_	1020	890	694	587	431
KAlSi <sub>1.5</sub> O <sub>5</sub> ·1.24H <sub>2</sub> O	3459	1650	1110	1028	884	695	609	448
$KAlSi_2O_6 \cdot 1.13H_2O$	3442	1641	1133	1038	911	710	590	448
KAlSi <sub>2.5</sub> O <sub>7</sub> ·1.43H <sub>2</sub> O	3462	1643	1144	1042	922	706	588	446
$KAlSi_3O_8 \cdot 1.6H_2O$	3441	1642	1148	1053	924	719, 777	581	450
KAlSi <sub>3.5</sub> O <sub>9</sub> ·1.35H <sub>2</sub> O	3457	1634	1148	1062	937	720, 789	571	461
KAlSi <sub>4</sub> O <sub>10</sub> ·1.87H <sub>2</sub> O	3441	1643	1161	1058	923	720, 786	584	453
KAlSi <sub>4.5</sub> O <sub>11</sub> ·2.3H <sub>2</sub> O	3444	1633	1159	1067	938	724, 791	575	462
$KAlSi_5O_{12} \cdot 2.5H_2O$	3461	1644	1151	1064	931	719, 790	560	455

охарактеризовать водородные связи [36]. Широкая диффузная полоса валентных колебаний  $\nu(O-H)$ молекул  $H_2O$  в диапазоне 3700–3030 см<sup>-1</sup>, имеет максимум в области  $\sim 3440 - 3465$  см<sup>-1</sup>. Ее сдвиг по отношению к аналогичным колебаниям жидкой воды  $(3650 \text{ см}^{-1})$  свидетельствует об образовании водородных связей О-Н-О молекулами Н<sub>2</sub>О, размещенными в наноразмерных полостях. Вероятно, молекулярная (цеолитная) вода образует средние по силе водородные связи О-Н...О, направленные на атомы кислорода в мостиках Si-O-Si(Al), что позволяет говорить о присутствии в наноразмерных полостях, ассоциированных между собой водородными связями молекул воды. Увеличенная полуширина и неразрешенность полосы  $\nu(O-H)$  подтверждает наличие разных по прочности водородных связей и их разнонаправленный характер в структуре. Изменение положения полос деформационных колебаний  $\delta(H_2O)$  от 1650 до 1633 см<sup>-1</sup> свидетельствует о небольшом ослаблении сил водородных связей [36, 37].

С увеличением соотношения  $SiO_2/Al_2O_3$  наиболее заметно данное изменение для калиевых образцов.

Анализ спектров по частоте ниже 1200 см<sup>-1</sup> выполнен, исходя из предположения, что по положению характеристических полос можно оценить локальное окружение атомов Si и Al. В ходе рассуждений проведено сравнение спектров синтезированных образцов, кристаллических фаз диоксида кремния [34, 38–40].

Детальная структура большинства распространенных форм диоксида кремния хорошо известна и была рассмотрена в работе [38]. Структуры основных форм кварца ( $\alpha$ - и  $\beta$ -SiO $_2$ ) различаются изменением положений тетраэдров друг относительно друга. Способ соединения тетраэдров в решетке всех полиморфных модификаций подобный — через кислородные мостики Si—O—Si, но взаимная ориентация тетраэдров и общая симметрия их положения отличаются. Структуры высоко- и низкотемпературных форм тридимита и

кристобалита можно представить состоящими из связанных вершинами Si-O-Si слоев тетраэдров  $[SiO_4]$  с образованием гексагональных колец, отличающихся формой и взаимным расположением.

В ИК спектрах всех исследуемых алюмосиликатов наблюдаются три основных полосы ~1000-1100, 750–800, 430–460 см $^{-1}$  с подобным положением и интенсивностью, которые интерпретированы как колебания: растяжение, изгиб и качание [34, 40, 41]. В целом, спектры всех изучаемых образцов содержат три основные полосы характеристических колебаний тетраэдрических групп [(Si,Al)O<sub>4</sub>], а положение полос зависит от соотношения SiO<sub>2</sub>/Al<sub>2</sub>O<sub>3</sub> (табл. 2). Наиболее интенсивную и широкую полосу с максимумом 1068-1006 см $^{-1}$  относят к валентным асимметричным колебаниям с преимущественным вкладом  $v_{as}(Si-O-Al)$ , а высокочастотную составляющую 1110–1165 см $^{-1}$  – к колебаниям  $v_{as}$ (Si–O–Si). Большая полуширина полосы валентных колебаний связана с рентгеноаморфностью образцов (вероятно, ближний порядок сохраняется, как в стекле). По мере роста соотношения SiO<sub>2</sub>/Al<sub>2</sub>O<sub>3</sub> наблюдается смещение полосы  $v_{as}[Si-O-Si(Al)]$  в высокочастотную область, отражающее упрочнение кремнийалюминиевого каркаса. Небольшое отличие положения полос  $v_{as}[Si-O-Si(Al)]$  аналогичного состава для натриевой и калиевой форм алюмосиликатов обусловлено природой и разницей в величинах ионных радиусов катионов  $Na^{+}$  и  $K^{+}$  (1.16 и 1.52 Å) и определяется отличием взаимодействия  $M-O(M = K^+, Na^+)$  и, соответственно, влияет на длины связей Si(Al)-О в решетке.

К колебанию качания, связанному с внеплоскостным изгибом  $\delta(\text{Si-O-Si})$ , в спектрах полиморфов  $\text{SiO}_2$  относят полосу в области частот  $470\text{--}480~\text{cm}^{-1}$  [41]. Ее положение в спектрах исследуемых алюмосиликатов находится в диапазоне  $\sim\!430\text{--}462~\text{cm}^{-1}$  для калиевого ряда и  $\sim\!445\text{--}458~\text{cm}^{-1}$  для натриевого ряда (табл. 2). Для калиевого ряда образцов диапазон несколько шире, что свидетельствует об увеличении параметров решетки под влиянием катионов  $K^+$ . Заметно, что поперечные колебания кислорода в мостике Si-O-Si происходят с более высокой частотой, чем в Si-O-Al.

Наличие плеча  $\sim$ 866–938 см<sup>-1</sup> на полосе  $v_{as}$ [Si–O–Si(Al)], по данным работ [34, 41, 42], соответствует валентным колебаниям концевых (немостиковых) связей Si–O<sup>-</sup>. Подобную полосу часто связывают

с валентными колебаниями групп  $v_{as}[Si(Al)$ —OH] (поверхностные силанольные группы) и относят к дефектам, возникающим вследствие гидролиза поверхности алюмосиликатов [43]. Таким образом, сохранение плеча небольшой интенсивности в области 866—931 см $^{-1}$  в ИК спектрах всех исследуемых образцов и его смещение в высокочастотную область при увеличении содержания кремнезема может быть подтверждением разорванности некоторых мостиковых связей Si—O—Si(Al) в решетке.

В целом, сходство между спектрами кристаллических форм силикатов и изучаемых образцов указывает на наличие в структуре тетраэдрических групп [(Si,Al)O<sub>4</sub>], связанных мостиковыми связями, а подобие силовых постоянных связей Al—O и Si—O определяет в спектрах близкое положение полос, соответствующих колебаниям алюмосиликатного каркаса.

Появление на фоне характеристических полос поглощения тетраэдрических групп [(Si,Al)O<sub>4</sub>] дополнительной полосы с максимумом  $\sim 610-560$  см<sup>-1</sup> в спектрах алюмосиликатов отнесено к внешним колебаниям кристаллической решетки, характеризующим связи между тетраэдрическими единицами (псевдорешеточные колебания) [34, 41]. Подобная полоса  $\sim 590-560$  см $^{-1}$  была найдена в спектре моганита – одного из микрокристаллических полиморфов SiO<sub>2</sub> [44], и авторы объяснили ее дефектностью кристаллической решетки (двойникованием), и пришли к заключению о соответствии этого колебания со средним порядком. Основным доводом отнесения служил факт присутствия колец из связанных вершинами тетраэдров в структуре моганита и отсутствии их в кварце. Кроме того, поглощение  $\sim 570-550$  см<sup>-1</sup> зарегистрировано у цеолита типа ZSM и так же объяснено образованием в решетке 4-членных колец [45].

Более точно размерность колец алюмосиликатного каркаса в решетке исследуемых образцов можно оценить, только лишь сравнив спектры некоторых каркасных минералов и полевых шпатов, кристаллизующихся в оксидных системах  $M_2O-Al_2O_3-SiO_2-nH_2O$  ( $M=Na^+,K^+$ ) с отношением O/(Si,Al)=2 (табл. 3). Большое число ИК спектров кристаллических природных алюмосиликатных минералов опубликовано в базе данных RUFF [46]. А подобный метод сравнения спектров часто используется при анализе спектров алюмосиликатов [34, 47].

	II waa waa aa a		Простроистроиноя	
Название	Идеализированный	Сингония	Пространственная	Окна
	состав	группа		L
Нефелин	(K,Na)AlSiO <sub>4</sub>	Гексагональная	P6 <sub>3</sub>	6
Анальцим	NaAlSi <sub>2</sub> O <sub>6</sub> ⋅H <sub>2</sub> O	Тетрагональная	$P\overline{1}$	4, 6, 8
Альбит	NaAlSi <sub>3</sub> O <sub>8</sub>	Триклинная	$P\overline{1}$	4, 6, 8
Na-клиноптилолит	$Na_6(Al_6Si_{30})O_{72} \cdot 20H_2O$	Моноклинная	C2/m	4, 5, 8,10
Кальсилит	KAlSiO <sub>4</sub>	Гексагональная	$P6_3$	6
Лейцит	KAlSi <sub>2</sub> O <sub>6</sub>	Тетрагональная	<i>I</i> 41/ <i>a</i>	4, 6
Микроклин	KAl Si <sub>3</sub> O <sub>8</sub>	Триклинная	$P\overline{1}$	4, 6
Ортоклаз	KAlSi <sub>3</sub> O <sub>8</sub>	Моноклинная	C2/m	4, 6, 8

**Таблица 3.** Состав и некоторые структурные характеристики каркасных минералов с отношением O/(Si, Al) = 2.

Согласно структурной классификации природных алюмосиликатных минералов, основанной на степени разделения анионов кислорода между соседними тетраэдрами, при отношении O/(Si,Al)=2 образуется класс тектосиликатов. Основу их кристаллической структуры составляет трехмерный каркас, в котором все четыре атома кислорода тетраэдра связаны с соседними. Степень замещения  $Si^{4+}$  катионами  $Al^{3+}$  достигает 50%. Катионы  $Na^+$  и  $K^+$  занимают полости в каркасе и уравновешивают заряд  $Al^{3+}$  в тетраэдрической координации.

Несмотря на то, что тетраэдр является первичной структурной единицей, в минералах выделяют и вторичные структурные фрагменты, описывающие средний порядок. Вторичные единицы объединяются друг с другом, образуя рыхлую структуру, пронизанную каналами и пустотами. Например, поиск связи первичной и вторичной структур с колебательными спектрами проведен исследователями в работе [47] при сравнении спектров цеолитов из разных структурных групп. Авторы показали, что одновременное появление в спектрах полос в диапазонах 700-790 и 540-620 см<sup>-1</sup> характерно для четырех и шестичленных циклов в структуре. Подобный набор полос присутствует в спектрах природных минералов, относящихся к вторичным строительным группам S4R и 4-4=1 в цеолитах по международной классификации [48, 49], имеющих в составе 4-членные кольца.

В ряду природных соединений состава  $Na_2O-Al_2O_3-SiO_2-nH_2O$  с известной структурой можно рассмотреть нефелин (NaAlSiO<sub>4</sub>), анальцим (NaAlSi<sub>2</sub>O<sub>6</sub>·H<sub>2</sub>O), альбит и Na-клиноптилолит

 $Na_6(Si_{30}Al_6)O_{72}\cdot 20H_2O$ , а в системе с калием – кальсилит (KAlSiO<sub>4</sub>), лейцит (KAlSi<sub>2</sub>O<sub>6</sub>), микроклин и ортоклаз (KAlSi<sub>3</sub>O<sub>8</sub>) (табл. 3). Алюмосиликатная сеть этих минералов состоит из связанных тетраэдров [Si(Al)O<sub>4</sub>], и отношение Si/Al в рядах последовательно увеличивается.

Гексагональная форма нефелина и кальсилита (MAISiO<sub>4</sub>) представляет собой структуру с 6-членными кольцами тетраэдров. Строение лейцита (KAlSi<sub>2</sub>O<sub>6</sub>) структурно не связано с полиморфами кремнезема, однако лейцитная сеть имеет в структуре 4- и преимущественно 6-членные кольца. Анальцим  $(NaAlSi_2O_6\cdot H_2O)$  с соотношением  $SiO_2/Al_2O_3 = 4$ является природным цеолитом с нерегулярными каналами, также состоящими из преимущественно 6-членных и небольшого количества 4- и 8-членных искаженных колец, связанных в каркас. Таким образом, каркасы лейцита и анальцима с преимущественно 6-членными кольцами должны иметь сходство с тридимитом или кристобалитом. Структура сети ортоклаза и микроклина (MAlSi<sub>3</sub>O<sub>8</sub>) состоит из 4-, 6- и 8-членных колец, при этом доминируют в структуре взаимосвязанные 4-членные кольца.

В решетках нефелина и кальсилита  $MAlSiO_4$  ( $SiO_2/Al_2O_3=2$ ) присутствуют только мостики Si–O–Al, поэтому в их ИК спектрах полоса  $\sim$ 800 см $^{-1}$  [ $\nu$ (Si–O–Si)] [34] не наблюдается, а проявляются полосы  $\sim$ 680 см $^{-1}$  с затянутым плечом до 700 см $^{-1}$  (относится к связи Si–O–Al) и слабые максимумы  $\sim$ 620 и 580 см $^{-1}$ , которые было предложено рассматривать как характерные для колебаний 6-членных колец [47]. В спектре тридимита (моноклинный)

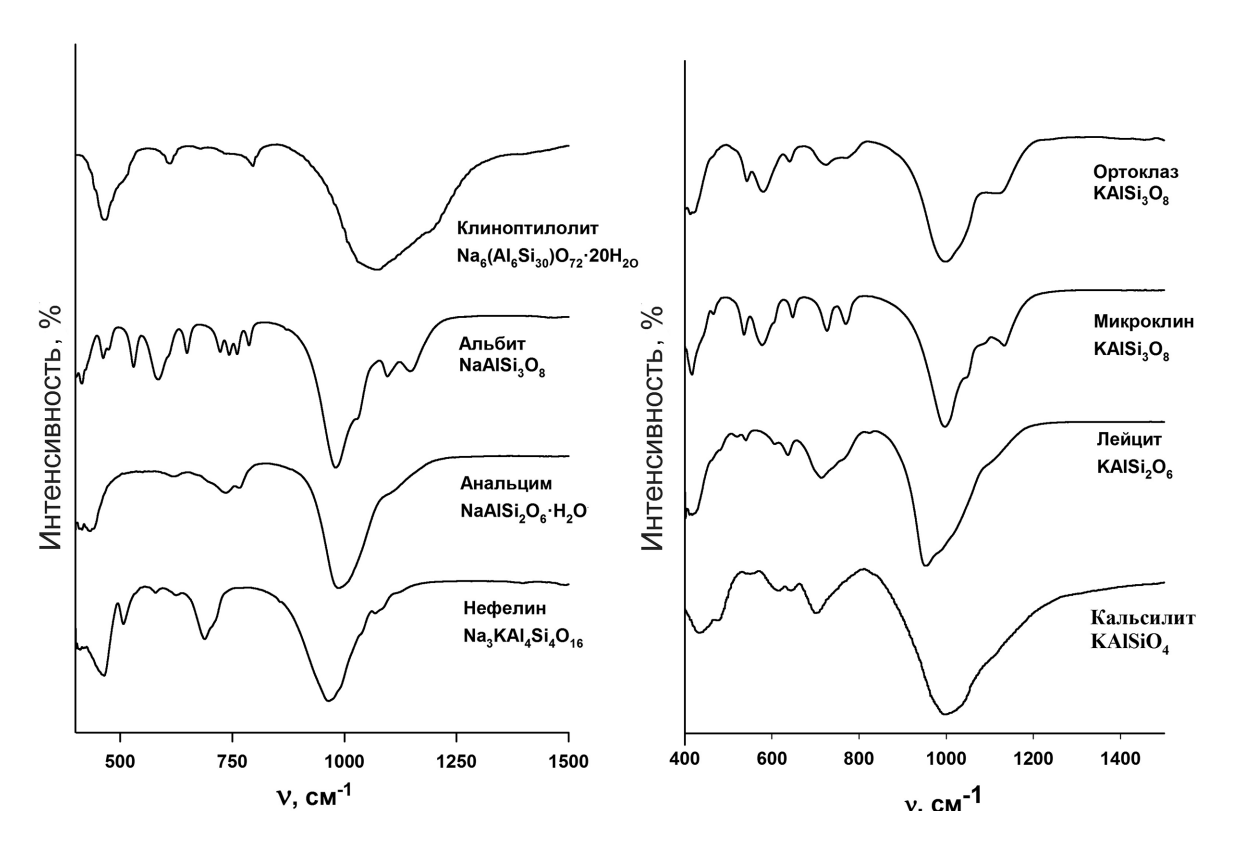


Рис. 5. ИК спектры минералов из базы данных RUFF [46].

также наряду с сильной 795 см $^{-1}$  присутствуют ослабленные полосы  $\sim$ 650, 580 см $^{-1}$  [34, 42].

В структурах лейцита и анальцима ( $SiO_2/Al_2O_3 = 4$ ) наряду с мостиками Si-O-Si присутствуют и связи Si-O-Al. В ИК спектре анальцима полоса с максимумом ~730 см $^{-1}$  доминирует, но проявляется и вторая составляющая ~767 см $^{-1}$ . Кроме того еще заметна слабая широкая полоса в области ~620 см $^{-1}$  (рис. 5). Подобный спектр лейцита подтверждает сходство их алюмосиликатных каркасов (рис. 5). Стоит также отметить некоторое сходство со спектром тридимита [34]. Таким образом, подтверждается присутствие 6-членных колец в решетке лейцита и анальцима.

В решетке ортоклаза (моноклинный), как и у изоструктурных альбита (триклинный) и микроклина (триклинный) состава MAlSi $_3$ O $_8$  (SiO $_2$ /Al $_2$ O $_3$  = 6), количество мостиковых связей Si $_2$ O-Si возрастает, но есть и связи Si $_2$ O-Al. Структура этих минералов не похожа ни на один полиморф SiO $_2$ , поэтому со спектрами кремнезема есть сходство только по трем

основным характеристическим полосам тетраэдра. Из псевдорешеточных колебаний в спектре ортоклаза на ряду с дублетом ~772-724 см<sup>-1</sup>, наблюдается узкая небольшой интенсивности полоса ~643 см-1 и появляется усложненная интенсивная с основным максимумом ~580 см<sup>-1</sup>, что может служить характеристикой четырехчленного кольца. И, несмотря на отличающуюся пространственную сингонию минералов состава MAlSi<sub>3</sub>O<sub>8</sub>, их спектры очень похожи: прослеживаются общие группы полос вследствие подобного локального окружения атомов Si и Al и доминирования 4-членных колец в решетках. Эти наблюдения согласуются с выводами работ [34, 50] об отнесении мод  $\sim$ 780–760 см $^{-1}$  к колебаниям кольцевых структур, при которых сдвигаются преимущественно атомы Si, а O практически не сдвигаются в 4-членном кольце, а соответствие узкой ( $\sim$ 650 см<sup>-1</sup>) и широкой интенсивной ( $\sim$ 580–560 см $^{-1}$ ) полос – к соответствующим деформациям колец. В спектре Na-клиноптолита (рис. 5) полосы псевдорешеточных колебаний имеют небольшую интенсивность.

В спектрах исследуемых образцов (табл. 2) при соотношении  $SiO_2$ : $Al_2O_3 > 5$  наблюдается расщепление полосы  $v_{as}(Si-Si)$  на две компоненты ( $\sim$ 795–770 и  $\sim$ 724–695 см $^{-1}$ ) и заметно изменение соотношения их интенсивностей: интенсивность высокочастотной составляющей растет по мере увеличения соотношения  $SiO_2/Al_2O_3$ . Таким образом, расщепление полос является признаком реализации в структуре исследуемых образцов гетеросвязи Si-O-Al, и позволяет отнести высокочастотную составляющую к групповому колебанию  $v_{as}(Si-Si)$ , а низкочастотную к  $v_{as}(Si-Al)$  в мостиках, соединяющих Si, Al-поли-эдры. Факт наблюдения в спектрах кристаллических модификаций  $SiO_2$  только полосы в области 800 см $^{-1}$  подтверждает сделанное отнесение.

Вторая характерная особенность спектров синтезированных алюмосиликатных образцов - наличие небольшой уширенной полосы 610-560 см<sup>-1</sup>, которая, как было сказано выше, может служить характеристикой размерности колец. Она имеет небольшую интенсивность и смещается от максимального значения при  $SiO_2$ : $Al_2O_3 = 2-4$  (~587 и  $609 \text{ cm}^{-1}$  для образцов калия и  $586 \text{ cm}^{-1}$  для натрия) в область низких частот до 560 см<sup>-1</sup> по мере увеличения содержания кремния (табл. 2). Прослеживая изменение ее положения, можно предположить, что присутствие интенсивной полосы в области  $700\,{\rm cm}^{-1}$ и ослабленной  $\sim 609-585~{
m cm}^{-1}$  в спектрах образцов с большим содержанием алюминия, а именно при соотношении  $SiO_2$ :  $Al_2O_3 = 4-6$  (табл. 2), соответствует присутствию в структуре либо 6-членных колец, либо увеличения координации атома Al и образования «модифицированной сетки кремнезема» [48], т. е. наблюдается некоторое сходство по виду спектра с кальсилитом и нефелином. Дальнейшее увеличение стехиометрического отношения  $SiO_2:Al_2O_3 > 6$  приводит к появлению и росту интенсивности на фоне полосы ~709-715 см-1 высокочастотной составляющей  $\sim$ 769-790 см $^{-1}$ . Также заметно перемещение полосы  $570 \rightarrow 560$  см<sup>-1</sup>, одновременно рост ее интенсивности и уширение. Прослеживается некоторое сходство со спектрами минералов MAlSi<sub>3</sub>O<sub>8</sub>. Таким образом, можно предположить увеличение количества 4-членных колец в структуре исследуемых образцов происходит при соотношении  $SiO_2$ : $Al_2O_3 > 6$ .

Проведенный анализ ИК спектров позволяет предположить, что в структуре образцов состава

 $M_2Al_2Si_xO_{2(x+4)}\cdot nH_2O$  (M = K<sup>+</sup>, Na<sup>+</sup>) формируются преимущественно 4-членные кольца из связанных вершинами тетраэдров (Si/Al)O<sub>4</sub>. А присутствие 6-членных колец или изменение типа связывания тетраэдров в решетке можно допустить только при низком соотношении SiO<sub>2</sub>:Al<sub>2</sub>O<sub>3</sub> < 6.

## выводы

Таким образом, синтезированы рентгеноаморфные наноразмерные алюмосиликаты натриевой и калиевой форм состава  $M_2Al_2Si_{2k}O_{2(2k+2)}\cdot nH_2O$  (где M = K, Na; k = 1, 2, 3, 4, 5) с различным соотношением  $SiO_2/Al_2O_3$  (2–10). Установлено, что максимальный размер нанокристаллических образований не превышает 10-20 нм. Удельная поверхность образцов зависит от отношения SiO<sub>2</sub>/Al<sub>2</sub>O<sub>3</sub>, имеет тенденцию увеличения с ростом содержания кремния до 300 м<sup>2</sup>/г. На рентгенограммах наблюдается сдвиг рентгеноаморфного гало в сторону меньших значений 20 с увеличением соотношения SiO<sub>2</sub>/Al<sub>2</sub>O<sub>3</sub>. Из данных спектроскопии ЯМР следует, что алюминий в синтезированных цеолитах натриевой формы, во всем диапазоне отношений SiO<sub>2</sub>/Al<sub>2</sub>O<sub>3</sub> преимущественно находится в тетраэдрической координации с кислородом. Проанализированы ИК спектры синтезированных образцов, проведено сравнение их со спектрами природных кристаллических минералов класса тектосиликатов с соответствующим соотношением SiO<sub>2</sub>/Al<sub>2</sub>O<sub>3</sub>. Большая полуширина полос и отсутствие тонкого разрешения в ИК спектрах подтверждает аморфную структуру исследуемых алюмосиликатов. Сделано предположение, что в структуре исследуемых образцов преимущественно образуются кольца из связанных вершинами 4-членных колец, допустить существование 6-членных колец можно для образцов с соотношением  $SiO_2:Al_2O_3 < 6$ . Количество 4-членных «окон» растет с увеличением отношения SiO<sub>2</sub>/Al<sub>2</sub>O<sub>3</sub>. Полосы в области частот 780-690 и 600-560 см<sup>-1</sup> отнесены к внешним колебаниям Si-O-Si вокруг мостиковых атомов О в 4-членном кольце, а их низкочастотный сдвиг отражает увеличение доли связей Si-O-Al в структурах. Строение образцов в среднем порядке близко к строению природных минералов (полевых шпатов) состава MAlSi<sub>3</sub>O<sub>8</sub>. В рассмотренном диапазоне отношений SiO<sub>2</sub>/Al<sub>2</sub>O<sub>3</sub> образцы кардинально структуру не изменяют, так как общий вид спектров однотипен. Молекулярная вода

находится в пустотах цеолита и образует средние по силе водородные связи О–Н···О, направленные на атомы кислорода мостиков Si–O–Si(Al). Большая полуширина и форма полосы растяжений связей О–Н подтверждает большой разброс длин водородных связей и их разнонаправленный характер. По-видимому, установленные зависимости в исследуемых образцах будут проявляться и в изменении таких функциональных свойств как сорбция ионов тяжелых металлов и долгоживущих радионуклидов, в абсорбции газов и др.

#### ЭКСПЕРИМЕНТАЛЬНАЯ ЧАСТЬ

Синтез алюмосиликатов. В качестве исходных веществ для синтеза алюмосиликатов с заданными соотношениями SiO<sub>2</sub>/Al<sub>2</sub>O<sub>3</sub> использовали следующие реагенты: AlCl<sub>3</sub>·6H<sub>2</sub>O квалификации Ч (ГОСТ 2463-80), кремниевую кислоту (ГОСТ 4214-78), NaOH квалификации ЧДА (ГОСТ 4328-77), КОН квалификации ХЧ (ГОСТ 2463-80). Образцы алюмосиликатного состава  $M_2Al_2Si_{2k}O_{2(2k+2)}$ · $nH_2O$  (M = K, Na; k = 1, 2, 3, 4, 5) с заданным соотношением компонентов  $SiO_2$ : $Al_2O_3 = 2-10$  синтезировали растворением кремнезема в гидроксиде натрия (или калия) с получением жидкого стекла с заданным силикатным модулем  $M_{**} = SiO_{2}/M_{2}O$  (где M – щелочной металл) с последующим смешением раствора жидкого стекла с раствором хлорида алюминия. Образовавшийся осадок отделяли от раствора с помощью фильтра «синяя лента»; при промывке в фильтрате проводили контроль на наличие хлорид-ионов. Осадок сушили до постоянной массы при температуре 100–105°С. Количество кристаллизационной воды в полученных цеолитах определяли по разнице массы высушенного образца и образца после обжига при температуре 900°С.

Определение элементного состава образцов проводили методом энергодисперсионного рентгенофлуоресцентного анализа на приборе Shimadzu EDX 800HS (Япония). Предварительно растертую навеску образца запрессовывали на подложку из борной кислоты, диаметр излучателя 20 мм, вакуум, время измерения спектра по 100 с, энергетические диапазоны 0–5 и 5–35 КэВ, трубка с Rh-анодом. Расчет концентраций элементов проводили по методу фундаментальных параметров с помощью программного обеспечения спектрометра без учета

легких элементов. Относительная погрешность определения элементного состава не превышала  $\pm 10\%$ .

Удельную поверхность полученных алюмосиликатов определяли методом низкотемпературной адсорбции азота с использованием прибора Сорбтометр-М (Россия). Микрофотографии частиц продуктов синтеза получали с использованием сканирующего электронного микроскопа высокого разрешения Hitachi S5500 (Япония). Рентгенограммы осадков регистрировали на автоматическом дифрактометре D8 ADVANCE (Германия) с вращением образца в  $CuK_{\alpha}$ -излучении. Рентгенофазовый анализ (РФА) проводили с использованием программы поиска EVA с банком порошковых данных PDF-2. Спектры ЯМР <sup>27</sup>Al, <sup>29</sup>Si, <sup>23</sup>Na записывали на спектрометре Bruker Avance AV-300 (Германия) ( $B_0 = 7$  Тл) с применением методики вращения образца под «магическим» углом. Регистрацию спектров производили методом эха Хана, в качестве внешнего эталона использовали разбавленные водные растворы AlCl<sub>3</sub>·6H<sub>2</sub>O (ион  $[Al(H_2O)_6]^{3+}$ ) и NaCl. Для регистрации спектров  $^{29}$ Si применяли метод кросс-поляризации  $^{29}$ Si $\{^{1}H\}$ с подавлением взаимодействий <sup>29</sup>Si-<sup>1</sup>H, химические сдвиги отсчитывали от сигнала тетраметилсилана. Точность определения химических сдвигов составляла ±1 м. д., определения интегральных интенсивностей сигналов – 10%. ИК спектры регистрировали в диапазоне  $4000-400 \text{ см}^{-1} \text{ с разрешением } 4 \text{ см}^{-1} \text{ при}$ комнатной температуре с использованием прибора IR-Affinity (Shimadzu, Япония) на окне KRS-5 с образцов, приготовленных в виде суспензии в вазелиновом масле.

Элементный и рентгенофазовый анализ выполняли на оборудовании Центра коллективного пользования «Дальневосточный центр структурных исследований Института химии Дальневосточного отделения РАН».

## ФИНАНСОВАЯ ПОДДЕРЖКА

Исследование выполнено в рамках государственного задания Института химии Дальневосточного отделения РАН [FWFN(0205)-2025-0002, тема 2].

# КОНФЛИКТ ИНТЕРЕСОВ

Авторы заявляют об отсутствии конфликта интересов.

#### СПИСОК ЛИТЕРАТУРЫ

- Abdullahi T., Harun Z., Othman M.H.D. // Adv. Powder Technol. 2017. Vol. 28. N 8. P. 1827. doi 10.1016/j.apt.2017.04.028
- 2. Карпова Т.Р., Булучевский Е.А., Лавренов А.В. // Вестн. Томск. гос. унив. Химия. 2019. № 16. С. 15. doi 10.17223/24135542/16/2 С.15-28
- 3. Хаиринов А.И., Корнилов А.В., Лыгина Т.З., Межевич Ж.В. // Неорг. матер. 2019. Т. 55. № 11. С. 1204. doi 10.1134/S0002337X1911006X; Khatsrinov A.I., Mezhevich Z.V., Kornilov A.V., Lygina T.Z. // Inorg. Mater. 2019. Vol. 55. N 11. P. 1138. doi 10.1134/S0020168519110062
- 4. Жданов С.П., Хвощев С.С., Самулевич Н.Н. Синтетические цеолиты. М.: Химия, 1981. 262 с.
- Аликина Ю.А., Спецов Е.А., Ульянова Н.Ю., Голубева О.Ю. // Физика и химия стекла. 2021. Т. 47. № 5. С. 545. doi 10.31857/S0132665121050036
- Jeon H., Seok J., Ha Y., Kim J.-C., Cho H.S., Yang H.-M., Choi M. // J. Hazard. Mater. 2023. Vol. 451. P. 131136. doi 10.1016/j.jhazmat.2023.131136
- 7. Villafranca J.C., Berton P., Ferguson M., Clausen R., Arancibia-Miranda N., Martinis E.M. // J. Hazard. Mater. 2024. Vol. 474. 134552. doi 10.1016/j.jhazmat.2024.134552
- 8. Luan H., Chen W., Wu Q., Zheng A., Meng X., De Baerdemaeker T., Parvulescu A.-N., Müller U., Xiao F.-S. // Catal. Today. 2022. Vol. 405–406. P. 251. doi 10.1016/j.cattod.2022.04.035
- El Alouani M., Saufi H., Aouan B., Bassam R., Alehyen S., Rachdi Y., El Hadki H., El Hadki A., Mabrouki J., Belaaouad S., Ez-Zaki H., Barka N. // Environ. Adv. 2024. Vol. 16. Art. 100524. doi 10.1016/j.envadv.2024.100524
- Vutolkina A.V., Glotov A.P., Zanina A.V., Makhmutov D.F., Maximov A.L., Egazar'yants S.V., Karakhanov E.A. // Catal. Today. 2019. Vol. 329.P. 156. doi 10.1016/j.cattod.2018.11.030
- 11. Pashkova V., Tokarova V., Brabec L., Dedecek J. // Micropor. Mesopor. Mater. 2016. Vol. 228. P. 59. doi 10.1016/j.micromeso.2016.03.021
- Zhou Y., Liu H., Rao X., Yue Y., Zhu H., Bao X. // Micropor. Mesopor. Mater. 2020. Vol. 305. Art. 110357. doi 10.1016/j.micromeso.2020.110357
- Xu H., Zhu J., Qiao J., Yu X., Sun N.-B., Bian C., Li J., Zhu L. // Micropor. Mesopor. Mater. 2021. Vol. 312. Art. 110736. doi 10.1016/j.micromeso.2020.110736
- 14. *Ibsaine F., Dionne J., Huong Tran L., Coudert L., Pasquiera L.-C., Blais J.-F.* // Miner. Eng. 2024. Vol. 216. Art. 108841. doi 10.1016/j.mineng.2024.108841
- Liu X.-d., Wang Y.-p., Cui X.-m., He Y., Mao J. // Powder Technol. 2013. Vol. 43. P. 184. doi 10.1016/ j.powtec.2013.03.048

- Machado R.C., Valle S.F., Sena T.B.M., Perrony P.E.P., Bettiol W., Ribeiro C. // Waste Manag. 2024. Vol. 186. P. 94. doi 10.1016/j.wasman.2024.05.046
- 17. Tada S., Li D., Okazaki M., Kinoshita H., Nishijima M., Yamauchi N., Kobayashi Y., Iyoki K. // Catal. Today. 2023. Vol. 411–412. Art. 113828. doi 10.1016/j.cattod.2022.06.043
- La Parola V., Deganello G., Scirè S., Venezia A.M. // J. Solid State Chem. 2003. Vol. 174. N 2. P. 482. doi 10.1016/S0022-4596(03)00321-9
- 19. *Stewart D.B., Ribbe P.H.* // Am. J. Sci. 1969. Vol. 267A. P. 444.
- Shalygin A.S., Kozhevnikov I.V., Gerasimov E.Yu., Andreev A.S., Lapina O.B., Martyanov O.N. // Micropor. Mesopor. Mater. 2017. Vol. 251. P. 105. doi 10.1016/j.micromeso.2017.05.053
- Brachhold N., König A.S., Brendler E., Aneziris C. // Ceram. Int. 2021. Vol. 47. N 23. P. 33596. doi 10.1016/ j.ceramint.2021.08.269
- Huang Q., Chen N., Wen M., Liang W., Li R., Zhao Y., Zeng Z., Zhang C., Jian J. // Micropor. Mesopor. Mater. 2021. Vol. 326. Art. 111362. doi 10.1016/j.micromeso.2021.111362
- 23. Rubtsova M., Smirnova E., Boev S., Kotelev M., Cherednichenko K., Vinokurov V., Lvov Yu., Glotov A. // Micropor. Mesopor. Mater. 2022. Vol. 330. Art. 111622. doi 10.1016/j.micromeso.2021.111622
- 24. *Ke M.*, *Wang J.*, *Song X.*, *Bai Y.*, *Lv P.*, *Su W.*, *Yu G.* // Chem. Eng. Sci. 2025. Vol. 311. Art. 121593. doi 10.1016/j. ces.2025.121593
- Sun F., Zhang R., Jiao W., Jia J., Wang H., Hou X., Lv W., Lv B. // Appl. Catal. (A). 2024. Vol. 683. Art. 119842. doi 10.1016/j.apcata.2024.119842
- Walkley B., San Nicolas R., Sani M.-A., Gehman J.D., Deventer J.S.J., Provis J.L. // Powder Technol. 2016.
   Vol. 297. P. 17. doi 10.1016/j.powtec.2016.04.006
- 27. Гордиенко П.С., Шабалин И.А., Ярусова С.Б., Слободюк А.Б., Сомова С.Н. // Хим. технол. 2016. Т.17. № 11. С. 487; Gordienko P.S., Shabalin I.A., Yarusova S.B., Slobodyuk A.B., Somova S.N. // Theor. Found. Chem. Eng. 2017. Vol. 51. N 5. P. 763. doi 10.1134/S0040579517050104
- 28. Гордиенко П.С., Шабалин И.А., Ярусова С.Б., Азарова Ю.А., Сомова С.Н., Перфильев А.В. // Хим. технол. 2017. Т. 18. № 1. С. 2.; Gordienko P.S., Shabalin I.A., Yarusova S.B., Azarova Yu.A., Somova S.N., Perfilev A.V. // Theor. Found. Chem. Eng. 2018. Vol. 52. N 4. P. 581. doi 10.1134/S0040579518040127
- 29. Нехлюдова Е.А., Иванов Н.П., Ярусова С.Б., Папынов Е.К., Шичалин О.О., Майоров В.Ю., Федорец .Н., Шкуратов А.Л., Шлык Д.Х., Гордиенко П.С. // Неорг. матер. 2023. Т. 59. № 12. С. 1350. doi 10.31857/

- S0002337X23120072; Nekhliudova E.A., Ivanov N.P., Yarusova S.B., Papynov E.K., Shichalin O.O., Mayorov V.Yu., Fedorets A.N., Shkuratov A.L., Shlyk D.Kh., Gordienko P.S. // Inorg. Mater. 2023. Vol. 59. P. 1303. doi 10.1134/S0020168523120075
- 30. Гордиенко П.С., Ярусова С.Б., Шабалин И.А., Слободюк А.Б., Нехлюдова Е.А., Шичалин О.О., Папынов Е.К., Курявый В.Г., Полякова Н.В., Паротькина Ю.А. // ЖНХ. 2022. Т.67. № 9. С. 1258. doi 10.1134/S0036023622090042; Gordienko P.S., Yarusova S.B., Shabalin I.A., Slobodyuk A.B., Nekhlyudova E.A., Shichalin O.O., Papynov E.K., Kuryavyi V.G., Polyakova N.V., Parot'kina Yu.A. // Russ. J. Inorg. Chem. 2022. Vol. 67. N 9. P. 1393. doi 10.1134/S0036023622090042
- 31. Chen Y., Lima L.M., Li Z., Ma B., Lothenbach B., Yin S., Yu Q., Ye G. // Cem. Concr. Res. 2024. Vol. 180.107484. doi 10.1016/j.cemconres.2024.107484
- 32. Gordienko P.S., Yarusova S.B., Shabalin I.A., Zheleznov V.V., Zarubina N.V., Bulanova S.B. // Radiochem. 2014. Vol. 56. N 6. P. 607. doi 10.1134/S106636221406005!
- 33. Fitzgerald J.J., Piedra G., Dec S.F., Seger M., Maciel G.E. // J. Am. Chem. Soc. 1997. Vol. 119. P. 7832. doi 10.1021/ja970788u
- 34. *Handke M., Mozgawa W. //* Vibr. Spectrosc. 1993. Vol. 5. N 1. P. 75. doi 10.1016/0924-2031(93)87057-Z
- 35. *Кульпина Ю.Н.*, *Прокофьев В.Ю.*, *Гордина Н.Е.*, *Хмылова О.Е.*, *Петухова Н.В.*, *Газахова С.И.* // Изв. вузов. Сер. хим. и хим. технол. 2017. Т. 60. Вып. 5. С.44. doi 10.6060/tcct.2017605.5405
- 36. *Hamilton W.C., Ibers J.A.* Hydrogen bonding in solids Benjamin. New York; Amsterdam, 1968. 284 p.
- 37. *Карякин А.В., Кривенцова Г.А.* Состояние воды в органических и неорганических соединениях. М.: Наука, 1973. 176 с.

- 38. *Görlich E.* // Ceram. Int. 1982. Vol. 8. N 1. P. 3. doi 10.1016/0272-8842(82)90009-8
- 39. *Dowty E.* // Phys. Chem. Miner. 1987. Vol. 14. P. 80. doi 10.1007/BF00311151
- 40. *Ocaña M., Fornes V., Garcia-Ramos J.V., Serna C.J.* // Phys. Chem. Miner. 1987. Vol. 14. P. 527. doi 10.1007/ BF00308288
- 41. *Bell R.J., Dean P. //* Disc. Faraday Soc. 1970. Vol. 50. P. 55. doi 10.1039/DF9705000055
- 42. *Sitarz M., Mozgawa W., Handke M.* // J. Mol. Struct. 1997. Vol. 404. P. 193. doi 10.1016/S0022-2860(96)09381-7
- 43. Stolen R.H., Krause J.T., Kurkjian D.R. // Disc. Faraday Soc. 1970. Vol. 50. P. 103. doi 10.1039/DF9705000103
- 44. Zhang M., Moxon T. // Am. Mineral. 2014. Vol. 99. P. 671. doi 10.2138/am.2014.4589
- Coudurier G., Naccache C., Vedrine J.C. // J. Chem. Soc. Chem. Commun. 1982. Vol. 24. P. 1413. doi 10.1039/ C39820001413
- Lafuente B., Downs R.T., Yang H., Stone N. In: Highlights in Mineralogical Crystallography / Ed. T. Armbruster, R. Micaela Danisi. Berlin; München; Boston: De Gruyter (O), 2016. P. 1. doi 10.1515/9783110417104-003
- 47. *Mozgawa W., Król M., Barczyk K.* // Chemik. 2011. Vol. 65. N 7. P. 667.
- 48. *Breck D.W.* Zeolite Molecular Sieves: Structure, Chemistry and Use. New York; London; Sydney; Toronto: John Wiley & Sons, 1974. 771 p.
- 49. Baerlocher Ch., Meier W.M., Olson D.H. Atlas of Zeolite Framework Types. 5th revised edition. Amsterdam: Elsevier, 2001. 302 p. doi 10.1016/B978-044453064-6/50201-2
- 50. *McMillan P., Piriou B.* // J. Non-Cryst. Solids. 1982. Vol. 53. P. 279. doi 10.1016/0022-3093(82)90086-2

# Synthesis of Nanostructured Aluminosilicates with Different SiO<sub>2</sub>/Al<sub>2</sub>O<sub>3</sub> Ratio: Analysis of Composition, Morphology, IR, and NMR Spectra

P. S. Gordienko<sup>1</sup>, E. I. Voit<sup>1</sup>, S. B. Yarusova<sup>1,2,\*</sup>, E. A. Nekhliudova<sup>1,2</sup>, A. B. Slobodyuk<sup>1</sup>, V. G. Kuryavyi<sup>1</sup>, V. A. Mashchenko<sup>1</sup>, and N. V. Polyakova<sup>1</sup>

<sup>1</sup> Institute of Chemistry, Far Eastern Branch of the Russian Academy of Sciences, Vladivostok, 690022 Russia <sup>2</sup> Vladivostok State University, Vladivostok, 690014 Russia \*e-mail: yarusova 10@mail.ru

Received April 25, 2025; revised June 24, 2025; accepted July 14, 2025

The paper presents data on synthesis of nanostructured aluminosilicates (zeolites) of sodium and potassium forms with molar SiO<sub>2</sub>/Al<sub>2</sub>O<sub>3</sub> ratio from 2 to 10 from aqueous solutions at temperature not exceeding 95°C. The results of investigations of elemental composition, morphology of nanoparticles, specific surface area of the obtained X-ray amorphous aluminosilicates, infrared spectra and nuclear magnetic resonance spectra (IR and NMR spectra) were obtained and analyzed.

Keywords: nanostructured aluminosilicate, zeolite, morphology, IR spectroscopy, NMR spectroscopy